

# ارتباط بین ریخت‌شناسی و جریان‌سنجدی

## در آمیزه‌های امتزاج ناپذیر بسپاری

آرمین حاجی‌بابا، محمود معصومی\*

اصفهان، دانشگاه صنعتی اصفهان، دانشکده مهندسی شیمی، گروه پلیمر  
پیام‌نگار: mmasoomi@cc.iut.ac.ir

### چکیده

از آنجاییکه اکثر آمیزه‌های بسپاری از نظر ترمودینامیکی امتزاج ناپذیر هستند، این مقاله سعی بر گردآوری اطلاعات و ارتباط بین ریخت‌شناسی و جریان‌سنجدی<sup>۱</sup> این زوج بسپارها دارد. از این‌رو در این تحقیق، نظریه‌ها و مدل‌های مهم ریخت‌شناسی و جریان‌سنجدی آمیزه‌های امتزاج ناپذیر بسپاری مورد بررسی قرار خواهد گرفت. نتایج مطالعات ریخت‌شناسی نشان می‌دهند که ساختار نهایی یک آمیزه بسپاری به دو پارامتر، نسبت گرانروی فازها و عدد کاپیلاری، ارتباط پیدا می‌کند. همچنین عدد کاپیلاری به گرانروی فاز ماتریس، نرخ کرنش و تنش بین سطحی وابسته است. از موارد دیگری که روی شکست قطرات فاز پراکنده و ریخت‌شناسی نهایی آمیزه بسپاری تأثیر می‌گذارد نوع جریان است. نتیجه تحقیقات نشان می‌دهد که شکست قطرات فاز پراکنده در میدان‌های کششی راحت تر از میدان‌های برشی اتفاق می‌افتد. مدل‌های پالین، کوران، جازسکی و (دویی- اوهتا) از معروف‌ترین مدل‌هایی هستند که ارتباط بین جریان‌سنجدی و ریخت‌شناسی در آمیزه‌های امتزاج ناپذیر بسپاری را به خوبی نشان می‌دهند. در مدل (دویی- اوهتا) مشخص است که افزایش اختلاف تنش‌های نرمال نوع اول که بیانگر افزایش ماهیت نظریه ویسکوالاستیک آمیزه بسپاری می‌باشد، سبب ریزتر شدن قطرات فاز پراکنده می‌گردد. همچنین در مدل پالین مدول کمپلکس آمیزه امتزاج ناپذیر بسپاری به قطر قطرات فاز پراکنده و تنش بین سطحی دو بسپار ارتباط داده می‌شود.

**کلمات کلیدی:** ریخت‌شناسی، جریان‌شناسی، آمیزه‌های امتزاج ناپذیر بسپاری، ویسکوالاستیک، تنش بین‌سطحی

آمیزه‌های بسپاری در دماهای بالا و تحت برش یا کشش، توسط محققین زیادی به اثبات رسیده است [۲-۴]. در بحث جریان‌سنجدی آمیزه‌های بسپاری، سه نوع جریان مورد بررسی قرار می‌گیرد: جریان برشی ساده، جریان برشی دینامیکی و جریان کششی [۵]. در میان این جریان‌ها، جریان برشی ساده و جریان کششی شدیداً روی ریخت‌شناسی آمیزه بسپاری تأثیر می‌گذارند در حالی که این تأثیر برای جریان دینامیکی چندان زیاد نیست. اگر آمیزه‌های بسپاری را به دو گروه امتزاج پذیر و غیر امتزاج پذیر تقسیم کنیم می‌توان

### ۱- مقدمه

در سال‌های اخیر به دلیل هزینه‌های بالای سنتز مواد جدید و مشکلات آن، سرعت تولید بسپارهای نو کاهش یافته و توجهات به سمت آمیزه‌سازی بسپارهای موجود، جلب شده است [۱]. در میان این آمیزه‌ها، ترموبلاستیک الاستومرها به عنوان ویژگی لاستیک‌ها در کاربرد و شرایط فرایندی ترموبلاستیک‌ها از اهمیت بالایی برخوردار است [۱]. اهمیت مطالعات جریان‌سنجدی در پیش‌بینی رفتار جریان

1. Reology

در مورد زوج بسپارهای غیرقابل امتزاج بحثی تحت عنوان سازگاری وجود دارد، به طوری که باید گفت حالت بهینه ریخت‌شناسی آمیزه‌های بسپاری وقتی حاصل می‌شود که قطرات فاز پراکنده در ماتریس به صورت کاملاً ریز درآمده باشند. به دلیل وجود نیروهای ترمودینامیکی که باعث انعقاد قطرات می‌شود، رسیدن به چنین ریخت‌شناسی آسان نیست. افزودن سازگارکننده‌های همبسپار دسته‌ای در فصل مشترک دو فاز از جمله راهکارهای متداول در ایجاد پایداری ریخت‌شناسی در سازگارسازی زوج بسپارها می‌باشد [۹]. سازگارکننده‌ها موادی هستند که به آمیزه‌های غیرقابل امتزاج اضافه شده، سبب ایجاد فعالیت بین‌سطحی می‌شوند. زنجیر همبسپاری سازگارکننده‌ها معمولاً ساختار دسته‌ای دارند، به این ترتیب که یک قسمت زنجیر در بسپار اول و قسمت دیگر زنجیر در بسپار دوم جذب می‌شود. سازگارسازی از طریق دو مکانیزم کاهش تنش بین‌سطحی و کاهش ائتلاف<sup>۷</sup> قطرات سبب ریزشدن اندازه قطرات فاز پراکنده می‌شود. در مکانیزم اول، ها<sup>۸</sup> و همکارانش (شکل (۱)-(الف)) نشان دادند که با خروج سیال ماتریس از فاصله بین دو قطره، سازگارکننده‌ها از این ناحیه خارج می‌شوند، این موضوع سبب ایجاد گرادیان غلظتی از سازگارکننده در فاصله بین دو قطره و ایجاد تنش‌های مماسی<sup>۹</sup> می‌گردد. این تنش‌ها سبب جلوگیری از ائتلاف قطرات می‌شوند. در مکانیزم ۲ که سوندرجا و ماکوسکو [۱۰] آن را مطرح کردند همبسپارهای بلاک مانع برخورد دو قطره به یکدیگر شده و راه برخورد آنها را سد می‌کند (شکل (۱)-(ب)). در حال حاضر مکانیزم ۲ در بین دانشمندان، از ارزش و اعتبار بیشتری برخوردار است.

ماکوسکو<sup>۱۰</sup> و همکارانش [۱۱] در سیستم بسپاری (پلی‌استایرن / پلی(متیل‌متاکریلات)), استفاده از همبسپار بلاک (پلی‌استایرن - پلی(متیل‌متاکریلات)) را دلیل ایجاد ریخت‌شناسی بهتر و یکنواخت‌تر با اندازه قطرات ریزتر دانستند. مالئیکانیدریدها، اپوکسی‌ها، اکسازولین، کربن ایمیدها و ایزوسیانات‌ها از جمله مهمترین عواملی هستند که روی بسپارها قرار می‌گیرند تا یک سیستم سازگارسازی فعال درجا را به وجود آورند. این عوامل شیمیایی فعال به صورت دستی یا ذاتی روی زنجیر بسپارها قرار

مدل‌هایی را برای پیش‌بینی رفتار جریان‌سنجی هرکدام از آنها بیان کرد. در مورد آمیزه‌های بسپاری غیرقابل امتزاج که در این مقاله درباره آنها بحث صورت خواهد گرفت و در این راستا مدل‌های سوسپانسیونی<sup>۱</sup> (تعلیقی)، امولسیونی<sup>۲</sup>، کوبسپارهای دسته‌ای<sup>۳</sup>، و کوران<sup>۴</sup> توضیح داده خواهد شد [۵].

آمیزه‌سازی بسپارهای متفاوت باعث ایجاد ریخت‌شناسی‌های گوناگون می‌شود، ساختارهایی چون حالت قطره‌ای، لیفی و به هم پیوسته<sup>۵</sup> [۶] از رایج‌ترین ساختارهایی هستند که گزارش شده‌اند. کنترل ریخت‌شناسی اهمیت فراوانی در خواص نهایی آمیزه‌های بسپاری دارد. هر کدام از این ریخت‌شناسی‌ها به عوامل زیادی چون ترکیب درصد اجزای شرایط فرایندی (دما، زمان و سرعت کرنش)، خواص جریان‌سنجی، نسبت گرانزوی اجزاء و خواص بین سطحی نمونه‌ها وابسته هستند [۷].

به دلیل اهمیت ارتباط بین جریان‌سنجی و ریخت‌شناسی در تعیین خواص نهایی آمیزه‌های بسپاری، این مقاله سعی دارد با بررسی مدل‌های جریان‌سنجی و ریخت‌شناسی، چشم‌انداز روش‌تری را برای محققین این عرصه فراهم آورد.

## ۲- نظریه‌های ریخت‌شناسی

### ۱- تعاریف اولیه

همان‌طور که ذکر شد آمیزه‌های بسپاری به دو گروه امتزاج‌پذیر و امتزاج‌ناپذیر تقسیم می‌شوند. به دلیل آنتروپوی اختلاط پایین، اکثر زوج بسپارها از نظر ترمودینامیکی غیر قابل امتزاج هستند. در سال ۱۹۸۹ با توجه به معادله گیبس<sup>۶</sup> [۸]، معادله (۱) برای امتزاج‌پذیری سامانه (بسپار / بسپار) مطرح شد. در این معادله  $\Delta G_m = \Delta H_m + T\Delta S_m < 0$  و  $\Delta S_m$  به ترتیب انرژی آزاد اختلاط، آنتالپی اختلاط، آنتروپی اختلاط و کسر حجمی هر کدام از اجزا می‌باشند. بخش اول معادله (۱) امتزاج‌پذیری و بخش دوم پایداری فازی را بیان می‌کند.

$$\Delta G_m = \Delta H_m + T\Delta S_m < 0 \quad (1)$$

$$[\partial^2 G_m / \partial \theta_i^2]_{T, P} >$$

1. Suspension
2. Emulsion
3. Block Copolymer
4. Coran
5. Co-Continuous
6. Gibbs

7. Coalescence

8. Ha

9. Marangoni Stress

10. Macosko

وارده از طرف میدان جریان و کشش بین سطحی قطره دانست و آن را با دو کمیت بی بعد زیر توصیف کرد:

$$Ca = \eta_m \gamma / d \quad (2)$$

$$p = \eta_d / \eta_m \quad (3)$$

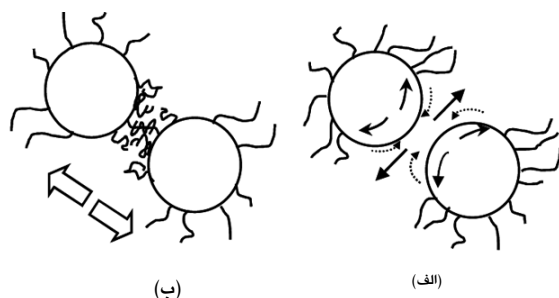
در معادلات (۲) و (۳)،  $Ca$  عدد کاپیلاری و  $p$  نسبت گرانروی‌ها،  $\eta_d$  و  $\eta_m$  به ترتیب گرانروی فاز پراکنده و ماتریس،  $d$  و قطر اولیه قطره و تنش بین‌سطحی و  $^\circ$  نرخ کرنش از طرف میدان می‌باشد. همچنین تغییرشکل قطره نیز با کمیت بی بعد  $D$  تعریف می‌شود، به طوری که  $(L-B)/(L+B) = D$  است. در این تعریف  $L$  و  $B$  به ترتیب بیانگر قطر بزرگ و کوچک قطره بیضی‌شکل می‌باشند. واضح است هر عاملی که باعث افزایش پارامتر  $D$  شود، شکست قطره را محتمل‌تر می‌نماید. تیلور مقدار بحرانی برای پارامتر  $D$  را مقدار  $0/5$  بدست آورد که در مقادیر بیشتر از  $0/5$  شکست قطره رخ می‌دهد. تیلور رابطه بین  $D$  و عدد کاپیلاری را طبق معادله (۴) تعریف کرد. همچنین کاکس در سال ۱۹۶۹ رابطه بین  $D$  و عدد کاپیلاری را در میدان‌های برشی طبق معادله (۵) معرفی کرد.

$$D = \left[ \frac{19p + 16}{16p + 16} \right] Ca \quad (4)$$

$$D = \frac{5(19p + 16)}{4(p + 1)\sqrt{(19p)^2 + (\frac{20}{Ca})^2}} \quad (5)$$

برای عدد کاپیلاری نیز یک مقدار بحرانی وجود دارد. در این مقدار سرعت برش کمترین مقدار خود را برای شکست<sup>۳</sup> قطره داراست، بطوری که از این مقدار به بعد قطره نمی‌تواند در برابر سرعت برشی (یا کشش) مقاومت کند و می‌شکند. این مقدار بحرانی عدد کاپیلاری شدیداً به نسبت گرانروی‌های فازها وابسته است. شکل (۳) این ارتباط را در یک میدان برشی نشان می‌دهد. همان‌طور که مشاهده می‌شود در نواحی بالای منحنی، شکست قطره اتفاق می‌افتد و کمترین مقدار عدد کاپیلاری که محتمل‌ترین حالت شکست قطره می‌باشد در نسبت گرانروی‌های برابر با ۱ حاصل شده

دارند و یک سیستم واکنشی را در فصل مشترک به وجود می‌آورند. در واقع همبسپارهای دسته‌ای به صورت درجا و آنی به واسطه وجود عوامل شیمیایی فعال بر روی زنجیرهای دو بسپار در فصل مشترک ایجاد می‌شوند و باعث سازگاری زوج بسپارها می‌شوند. آمیزه‌هایی که به روش فوق سازگار می‌شوند به آمیزه‌های واکنشی<sup>۱</sup> معروف هستند. بدیهی است که راندمان سازگارسازی با این روش بیشتر از روش اضافه کردن مستقیم همبسپار به آمیزه است، زیرا وقتی سازگارکننده به صورت جداگانه وارد محفظه واکنش می‌شود تنها بخشی از آن مفید واقع می‌شود که در فصل مشترک دو فاز قرار می‌گیرد [۱۳].

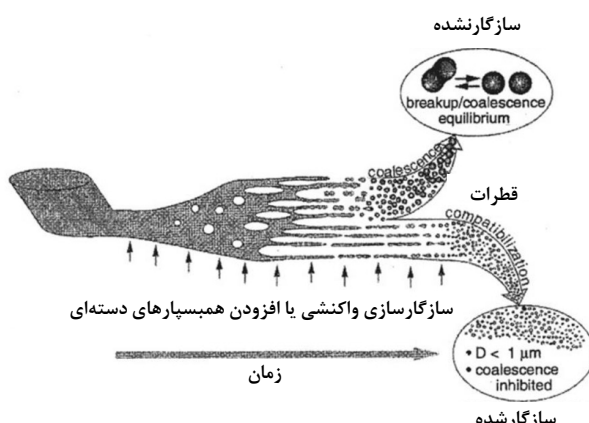


شکل ۱ - مکانیزم سازگارسازی توسط همبسپارهای دسته‌ای:  
(الف) مکانیزم ۱ و (ب) مکانیزم ۲ [۱۱]

## ۲- تئوری بهبود ریخت‌شناسی در مایعات نیوتونی امتزاج ناپذیر

تشکیل یا شکسته‌شدن قطرات یک سیال در سیال دیگر از موضوعات پراهمیت در تعیین ریخت‌شناسی آمیزه‌های بسپاری غیرقابل امتزاج به حساب می‌آید. تعداد قطرات، اندازه و شکل آنها از پارامترهای تعیین کننده در رفتار بین سطحی و خواص نهایی آمیزه‌های بسپاری به شمار می‌رود. از نخستین کارهای انجام گرفته در این حوزه می‌توان به مطالعات تیلور [۱۴] در سال‌های ۱۹۳۲ و ۱۹۳۴ اشاره کرد. وقتی یک جریان برشی پایا و یکنواخت به سیستم قطره گرانرو در ماتریس گرانرو اعمال می‌شود، شکل ذرات از حالت کروی به بیضی تغییر می‌کند. تنش اعمالی به ماتریس با کشش بین‌سطحی در رقابت قرار می‌گیرد و باعث تشکیل این حالت بیضوی می‌شود. تیلور تغییرشکل قطره را حاصل رقابت بین دو نیروی تنشی

نتیجتاً سبب شکل‌گیری قطرات درشت‌تری درون آمیزه می‌شود. بنابراین برای سیستم‌های سازگارشده رقابتی بین شکست قطرات و پدیده ائتلاف ذرات شکل می‌گیرد. از سوی دیگر در سیستم سازگارشده به دلیل توقف پدیده ائتلاف (با توجه به مکانیزم مطرح شده در شکل (۱۱)، ذرات ریزتر باقی می‌مانند. همان‌طور که در شکل (۳) هم دیده می‌شود قطر ذرات در حالت سازگارشده به کمتر از ۱ میکرون هم می‌رسد.



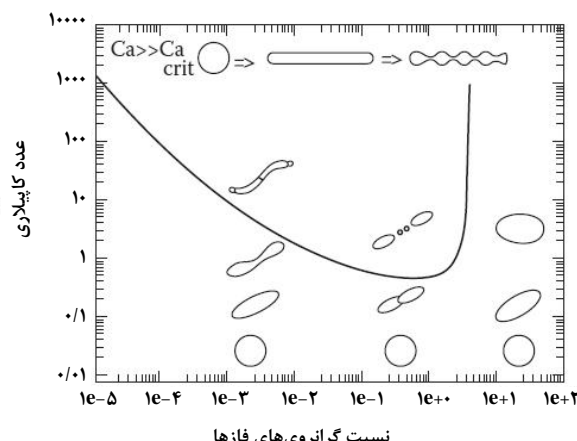
شکل ۳- طرح اجمالی پیشرفت ریخت‌شناسی در طول اختلاط مذاب برای یک آمیزه امتحان ناپذیر بسپاری [۱۵]

محاسبات عددی نشان می‌دهد که وقتی مقدار فاز پراکنده در یک آمیزه بسپاری بین ۰ تا ۳۰٪ باشد، مقدار بحرانی عدد کاپیلاری تا ۲۰٪ کاهش پیدا می‌کند [۷]. همان‌طور که در شکل (۲) مشخص است و از معادلات (۴) و (۵) نتیجه می‌شود بهترین حالت برای شکست قطرات در نسبت گرانروی فازها برابر با یک حاصل می‌شود [۱۶]. همچنین هرچقدر گرانروی فاز ماتریس بیشتر باشد انتقال تنفس از روتور دستگاه به فاز پراکنده بیشتر می‌شود و شکست قطرات راحت‌تر اتفاق می‌افتد. از پارامترهای تأثیرگذار بر روی ریخت‌شناسی آمیزه‌های بسپاری تنفس بین‌سطحی دو فاز می‌باشد. به این ترتیب که هر اندازه این تنفس بین‌سطحی بیشتر باشد تمایل به شکست قطره کمتر و اندازه ذرات درشت‌تر است.

### ۳-۲ مدل‌های پیشرفت ریخت‌شناسی در آمیزه‌های بسپاری امتحان ناپذیر

همان‌طور که ذکر شد نظریه تیلور مربوط به قطره گرانرو در ماتریس

است. از سوی دیگر، همان‌گونه که در شکل (۲) نمایان است چنانچه نسبت گرانروی فازها از مقدار ۳ یا ۴ بیشتر شود شکست قطره در میدان برشی غیرممکن می‌شود. یکی دیگر از پارامترهای تأثیرگذار بر فرایند شکست قطره نوع میدان جریان می‌باشد. با توجه به نتایج بدست آمده در میدان‌های کششی، شکست قطرات تقریباً به نسبت گرانروی‌ها مربوط نیست و پدیده شکست در هر نسبت گرانروی می‌تواند حاصل شود. از آنجایی که که گرانروی کششی بیشتر از گرانروی برشی می‌باشد (تقریباً ۳ برابر)، احتمال شکست قطرات در میدان‌های کششی بسیار بیشتر از میدان‌های برشی است.



شکل ۲- ارتباط بین عدد کاپیلاری و نسبت گرانروی‌ها در میدان برشی [۱۵]

شکل (۳) بهبود ریخت‌شناسی در طول اختلاط مذاب برای یک آمیزه امتحان ناپذیر بسپاری را نشان می‌دهد. در طول فرایند اختلاط مذاب در یک مخلوط کن بعد از نرمشدن فاز پراکنده این فاز به صورت فیلم‌های کشیده شده در می‌آید. با پیشرفت زمان، ابتدا حفره‌هایی درون این فیلم‌ها شکل می‌گیرد و سپس فاز پراکنده به شکل لیف‌ها و نهایتاً بصورت قطرات درون فاز ماتریس، پراکنده می‌شوند. پس از این مرحله دو پدیده شکست و ائتلاف قطرات درون آمیزه امتحان ناپذیر در رقابت با یکدیگر قرار می‌گیرند. در شرایطی که غلظت فاز پراکنده کمتر از ۱٪ باشد احتمال برخورد قطرات و وقوع پدیده ائتلاف کم شده و اندازه قطرات فاز پراکنده درون ماتریس کاهش می‌باید. اما در شرایطی که ترکیب درصد فاز پراکنده بیشتر از ۱٪ باشد برخورد قطرات و وقوع پدیده ائتلاف درون آمیزه افزایش پیدا کرده و بصورت یک پدیده رقابتی با شکست قطرات درمی‌آید و

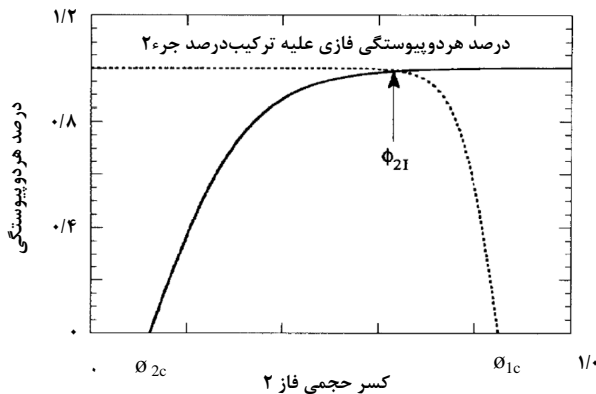
ترکیب درصد وارونگی فازی، اوبراکی [۱۸] معادله (۷) را ارائه کرد:

$$\begin{aligned} \theta_{1I} / \theta_{2I} &= \eta_1 / \eta_2 = p; \quad \text{or} \quad \theta_{2I} = 1 / (1+p) \\ \theta_{2I} &= 1 / (1 + p \cdot F(p)) \end{aligned} \quad (7)$$

در این معادله  $\theta$  ترکیب درصد وارونگی فازی برای هر فاز،  $\eta$  گرانروی فازها و  $p$  نسبت گرانروی فاز پراکنده به ماتریس می‌باشد. در این معادله مشخص است که وقتی نسبت گرانروی فازها برابر با یک باشد، ترکیب درصد وارونگی فازی برای هر فاز برابر با  $1/2$  به دست می‌آید. به عبارت دیگر در حالت  $p$  برابر با یک، ریختشناصی به همپیوسته در ترکیب درصد  $1/2$  حاصل می‌شود. در معادله (۷) تابعی تحت عنوان  $F(p)$  به چشم می‌خورد که توسط معادله تجربی (۸) بیان می‌شود:

$$F(p) = 1 + 2.25 \log p + 1.81 (\log p)^2 \quad (8)$$

نمودار درصد ساختار به همپیوسته تحت تابعی از ترکیب درصد فازها برای سیستم (پلی‌اتیلن با چگالی بالا/پلی‌استایرن) در شکل (۴) نشان داده شده است. در این شکل  $\theta$  معرف ترکیب درصدی است که فازها شروع به ایجاد ساختار به همپیوسته می‌کنند. همان‌طور که مشاهده می‌شود بیشینه مقدار ریختشناصی به همپیوسته در نقطه وارونگی فازی اتفاق می‌افتد.



شکل ۴- درصد ساختار به همپیوسته علیه ترکیب درصد فاز پراکنده برای سیستم (HDPE/PS) [۱۷]

گرانرو می‌باشد. در سال ۱۹۸۷ و [۱۷] مطالعات تیلور را گسترش داد و معادله جدیدی برای تخمین اندازه ذرات فاز پراکنده در ماتریس بسپاری ارائه داد. او در مطالعات خود از پلی‌آمید ۶۶ و پلی‌(اتیلن ترفتالات) به عنوان ماتریس و ۴ نوع لاستیک اتیلن‌بروبیلن با وزن مولکولی‌های مختلف (گرانروی‌های مختلف)، به عنوان فاز پراکنده استفاده کرد. نتیجه تحقیق این دانشمند در معادله (۶) آورده شده است، به طوری که می‌توان از این معادله برای تخمین اندازه ذرات فاز پراکنده بسپاری در ماتریس بسپاری استفاده کرد.

$$\begin{aligned} d &= \frac{\gamma}{\eta \gamma^0} \left( \frac{\eta'}{\eta} \right)^{0.84} && \text{for } \eta < \eta' \\ d &= \frac{\gamma}{\eta \gamma^0} \left( \frac{\eta'}{\eta} \right)^{-0.84} && \text{for } \eta > \eta' \end{aligned} \quad (6)$$

در این معادله  $d$  قطر ذرات فاز پراکنده،  $\eta$  تنفس بین‌سطحی،  $\gamma$  نرخ کرنش برشی،  $\eta'$  گرانروی فاز ماتریس و  $\eta$  گرانروی فاز پراکنده می‌باشد. در این معادله کمترین مقدار اندازه ذرات فاز پراکنده هنگامی حاصل می‌شود که نسبت گرانروی فاز پراکنده به ماتریس برابر با یک باشد. همان‌گونه که در معادله (۶) مشخص است کاهش تنفس بین‌سطحی، افزایش نرخ کرنش برشی و افزایش گرانروی فاز ماتریس سبب کوچک شدن اندازه قطرات فاز پراکنده و ساختار یکنواخت‌تر می‌گردد.

در آمیزه‌های بسپاری با افزودن فاز پراکنده به فاز ماتریس ابتدا ریزساختار (قطره-ماتریس) شکل می‌گیرد، اما رفته رفته با افزایش درصد فاز پراکنده، سیستم به سمت ساختار به همپیوسته می‌رسد تا جایی که در ترکیب درصد خاصی (۰) پدیده وارونگی فازی اتفاق می‌افتد و هر دو فاز هم حالت ماتریس و هم حالت پراکنده را پیدا می‌کنند. در بسیاری از موارد آمیزه‌های بسپاری با این ساختار، ویژگی‌های منحصر به فردی از خود بروز می‌دهند، اما با توجه به این نکته که ساختار به همپیوسته بهشدت ناپایدار می‌باشد، در مواردی که تمایل به ایجاد این ساختار در آمیزه بسپاری امتزاج‌ناپذیر است باید برای آن آمیزه بسپاری ترکیب درصدی را که در آن، بیشینه حالت به همپیوستگی برای دو فاز مشاهده می‌گردد پیش‌بینی کرد و ریختشناصی آمیزه را در آن حالت پایدار کرد. برای پیش‌بینی

1. Wu  
2. Phase Inversion

مقادیر تنسور فصل مشترک در جهت‌های  $x$  و  $y$  را بیان می‌کنند. همان‌گونه که در معادله (۹) مشخص است  $Q$  در ارتباط مستقیم با اختلاف تنش‌های نرمال نوع اول است. با فرض تشکیل ذرات بیضوی در طول جریان مقدار  $Q$  طبق معادله (۱۰) بازنویسی خواهد شد.

به غیر از نسبت گرانروی‌ها، پارامترهای دیگری در رسیدن به نقطه وارونگی فازی نقش بازی می‌کنند. برای مثال هرچه تنش بین سطحی فازها بیشتر باشد ناحیه بهم پیوستگی باریک‌تر و هرچه گرانروی فاز ماتریس بیشتر باشد ناحیه ساختار بهم پیوسته پهن‌تر خواهد شد [۱۹].

### ۳- مدل‌های جریان‌سنجی آمیزه‌های بسپاری امترزاژ پاذیر

مبحت جریان‌سنجی آمیزه‌های بسپاری بحث بسیار مهمی است که به دو قسمت جریان‌سنجی خطی و جریان‌سنجی ناخطي تقسیم می‌شود. برای تعیین نواحی ویسکوالاستیک خطی و ناخطي آمیزه‌های بسپاری، یک روش بسیار متداول وجود دارد، به طوری که توسط دستگاه رئومتر نمودار مدول ذخیره بر حسب دامنه کرنش رسم می‌گردد، ناحیه پایای ابتدایی که معمولاً در دامنه کرنش‌های پایین اتفاق می‌افتد ناحیه ویسکوالاستیک خطی و ناحیه‌ای که نمودار شبیه منفی پیدا می‌کند ناحیه ویسکوالاستیک ناخطي می‌باشد. معمولاً اکثر مطالعات جریان‌سنجی آمیزه‌های بسپاری در ناحیه ویسکوالاستیک خطی انجام می‌گیرد. پالیمر نشان داد که رفتار ویسکوالاستیک خطی آمیزه‌های بسپاری به رفتار ویسکوالاستیک خطی هر فاز، توزیع اندازه ذرات فاز پراکنده و تنش بین سطحی فازها ربط پیدا خواهد کرد. معمولاً اندازه‌گیری‌های مدول ذخیره و اختلاف تنش‌های نرمال دیدگاه خوبی را در بررسی ریختشناسی آمیزه‌های بسپاری ایجاد می‌کنند. بهینه‌کردن ساختار نهایی یک آمیزه بسپاری غیرقابل امترزاژ بهشت به ارتباط بین جریان‌سنجی و ریختشناسی این آمیزه برمی‌گردد. دویی<sup>۱</sup> و اوهتا<sup>۲</sup> [۲۰] مدلی را برای پیش‌بینی ارتباط بین جریان‌سنجی و ریختشناسی زوج‌های بسپاری طبق معادله (۹) بیان کردند:

$$N_{1,excess} = -\alpha(q_{11}-q_{22}) = (2\alpha\mu/\mu+1)Q \quad (9)$$

در معادله بالا  $q_{ij}$  اجزای تنسور فصل مشترک ( $q$ )،  $Q$  مساحت بین سطحی در واحد حجم آمیزه،  $\alpha$  تنش بین سطحی و  $\mu$  پارامتر شکلی<sup>۳</sup> (وابسته به ترکیب درصد اجزا) می‌باشد. مقادیر  $q_{22}$  و  $q_{11}$

1. Doi  
2. Ohta  
3. Phenomenological

$$Q = \frac{\frac{\phi \sum n_i (2\pi b_i^2 + \frac{2\pi a_i b_i}{\varepsilon_i} \arcsin \varepsilon_i)}{\text{سطح بیضی‌ها}}}{\text{حجم بیضی‌ها}} = \frac{\sum n_i \frac{4\pi}{3} a_i b_i^2}{\varepsilon_i} \quad (10)$$

$$\varepsilon_i = \sqrt{\frac{\left(\frac{a_i}{b_i}\right)^2 - 1}{\frac{a_i}{b_i}}} \quad (10)$$

در معادله (۱۰)  $n_i$  معرف تعداد بیضی‌های از نوع  $i$  در واحد حجم،  $a_i$  قطر بزرگ بیضی‌های نوع  $i$  و  $b_i$  قطر کوچک بیضی‌های از نوع  $i$  می‌باشد. برای ساده‌تر شدن کار، می‌توان بیضی‌ها را معادل کردهای با سطح ویژه معادل در نظر گرفت و از کردهایی با قطر معادل  $d_{sv}$  (سطح به حجم) استفاده کرد.

$$Q = 6\phi / d_{sv} \quad (11)$$

اگر معادله (۱۱) را در معادله (۹) جایگذاری کنیم معادله جدیدی حاصل می‌شود که ارتباط بین جریان‌سنجی و ریختشناسی در آمیزه‌های امترزاژ پاذیر را به خوبی نشان می‌دهد.

$$d_{sv} = \frac{12\mu}{\mu+1} \cdot \frac{\alpha\phi}{N_{1,excess}} \quad (12)$$

در معادله (۱۲) مشخص است که افزایش اختلاف تنش‌های نرمال نوع اول که بیانگر افزایش ماهیت ویسکوالاستیک آمیزه بسپاری می‌باشد، سبب ریزتر شدن اندازه قطرات فاز پراکنده و ریختشناسی یکنواخت‌تر می‌گردد. شکل (۵) ارتباط بین نسبت گرانروی فازها و (قطر معادل فاز پراکنده) برای سیستم (PDMS/PIB) با ۱۰٪ و ۳۰٪ وزنی از فاز پراکنده را نشان می‌دهد. همان‌طور که مشاهده می‌شود کمترین مقدار قطر معادل در نسبت گرانروی‌ها برابر ۱

است. پیش‌بینی این مدل برای تعیین مدول کمپلکس آمیزه‌های بسپاری طبق معادله (۱۴) به صورت زیر است:

$$G^* = G_m^* [1 + 3\theta H] / [1 - 2\theta H] \quad (14)$$

$$\begin{aligned} & \left( \frac{4}{R'} \right) (2G^* m + 5G^* d) + (G^* d - G^* m) (16G^* m + 19G^* d) \\ & \left( \frac{40}{R'} \right) (G^* m + G^* d) + (2G^* d - 3G^* m) (16G^* m + 19G^* d) \end{aligned}$$

$$G_i^* = G_i^*(\omega); R' = R/\gamma_{12}$$

در معادله (۱۴)،  $\gamma_{12}$  ضریب تنش بین‌سطحی،  $R$  شعاع قطرات،  $G_i(\omega)$  مدول کمپلکس و اندیس‌های  $m$  و  $n$  به ترتیب مربوط به فاز ماتریس و فاز پراکنده می‌باشند. مدل اولدروید در سال ۱۹۹۰ توسعه پالیرن [۲۲] بسط داده شد و یک مدل تجربی دیگر بیان گردید. در مدل اولدروید قطرات یک مایع نیوتونی در مایع دیگر در نظر گرفته می‌شوند، اما مدل پالیرن قطرات یک مایع ویسکوالاستیک را در یک مایع ویسکوالاستیک دیگر در نظر می‌گیرد [۵]. در مدل پالیرن (معادله (۱۵)) فرض بر این است که قطرات به صورت کروی بوده و تحت تغییرشکل‌های کوچک قرار می‌گیرند.

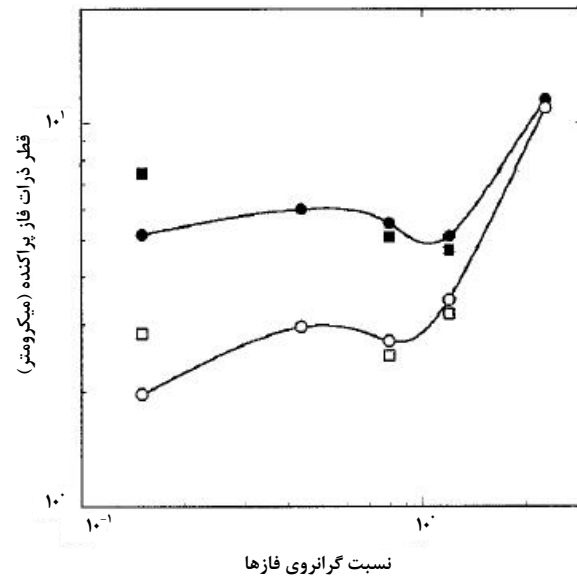
$$G^* = G_m^* [1 + 3\sum \theta_i H_i] / [1 - 2\sum \theta_i H_i] \quad (15)$$

$$\begin{aligned} & \left( \frac{4}{R'_i} \right) (2G^* m + 5G^* d) + (G^* d - G^* m) (16G^* m + 19G^* d) \\ & \left( \frac{40}{R'_i} \right) (G^* m + G^* d) + (2G^* d - 3G^* m) (16G^* m + 19G^* d) \end{aligned}$$

$$G_i^* = G_i^*(\omega); R'_i = R_i/\gamma_{12}$$

در این معادله  $\theta_i$  و  $R_i$  به ترتیب کسر حجمی و شعاع قطرات فاز پراکنده می‌باشند و همانند مدل اولدروید در کرنش‌های پایین معتبر است. در مدل پالیرن وقتی  $H$  به سمت  $0/5$  می‌رود ( $H=1/2$ ) این مدل تقریباً شبیه به مدل اینشتین می‌شود که در آن سوسپانسیون رقیق از ذرات کروی در نظر گرفته شده است (معادله (۱۶)) [۲۳].

حاصل شده است که نشان از ایجاد ذرات ریز و ریختشناصی بهینه در این نسبت می‌باشد.



شکل ۵- ارتباط بین نسبت گرانزوی فازها و  $d_{sv}/d_{lv}$  (قطر معادل فاز پراکنده) برای سیستم (PDMS/PIB) با ۱۰٪ (دایره‌های توخالی) و ۳۰٪ وزنی (دایره‌های توپر) از فاز پراکنده، مربع‌ها مربوط به حالتی است که تنش بین‌سطحی در کمترین مقدار خود باشد [۲۱]

از جمله مدل‌های دیگری که ارتباط بین جریان‌سنجی و ریختشناصی در آمیزه‌های بسپاری را نشان می‌دهند، مدل‌های امولسیونی هستند. مدل‌های امولسیونی برای آمیزه‌هایی کاربرد دارند که در آنها گرانزوی دو فاز تقریباً با هم برابرند. تیلور [۱۳] در سال‌های ۱۹۳۲ و ۱۹۳۴ معادله (۱۳) را برای پیش‌بینی گرانزوی نسبی ( $\eta_r$ ) و گرانزوی ویژه ( $\eta_{\text{v}}$ ) امولسیون‌ها ارائه کرد. در این مدل،  $p$  نسبت گرانزوی فاز پراکنده به گرانزوی ماتریس می‌باشد.

$$\eta_r = 1 + (5/2)\sigma[p+2.5]/[p+1] \quad (13)$$

$$[\eta_{\text{v}}]_e = (5/2)[p+2.5]/[p+1]$$

در سال‌های ۱۹۵۳ و ۱۹۵۵ اولدروید<sup>۱</sup> یک مدل تجربی برای مدول کمپلکس آمیزه‌های امتراج‌ناپذیر بسپاری ارائه کرد که برای تغییرشکل‌های پایین و کسر حجمی‌های کم از فاز پراکنده معتبر

1. Oldroyd

$$G_{\text{susp}}^* = G_m^* [1 + 3\theta H] / [1 - 2\theta H] \approx G_m^* (1 + 2/5\theta), H=1/2$$

$$\begin{aligned} G^*_{coran} &= f \cdot G^*_{par} + (1-f) \cdot G^*_{ser} \\ G^*_{ser} &= [(\phi_1/G^*_{1}) + (\phi_2/G^*_{2})]^{-1} \\ G^*_{par} &= \phi_1 \cdot G^*_{1} + \phi_2 \cdot G^*_{2} \end{aligned} \quad (19)$$

در این معادله زیروندهای ۱ و ۲ معرف فازهای اول و دوم بوده و فاکتور  $f$  درجه کاربردی مدل موازی را نشان می‌دهد و نشان دهنده میزان پیوستگی فاز با مدول بیشتر در سیستم است. همچنین زیروندهای  $par$  و  $ser$  به ترتیب مربوط به مدل‌های سری و موازی هستند. به عبارت دیگر اگر ساختار بهم پیوسته در آمیزه تشکیل شود، این ضریب برابر ۱ می‌شود و مدول ماده برابر مدول مدل موازی می‌گردد [۲۸و۲۹].

#### ۴- ارتباط بین جریان‌سنجی و ریخت‌شناسی در نانوکامپوزیت آمیزه‌های بسپاری

در سال‌های اخیر دسته جدیدی از مواد غیرآلی تحت عنوان نانومواد در حوزه آمیزه‌های بسپاری به کار برده شدند که به دلیل وجود گروه‌های عاملی روی آنها، نقش سازگارسازی را بین زوج بسپارهای غیرقابل امتراج ایفا می‌کنند. نانوسیلیکا، نانولوله‌های کربنی، گرافن، نانوگرافیت و دیگر نانومواد از مهمترین این مواد به شمار می‌آیند. دانشمندان زیادی روی تأثیر این نانومواد بر ریخت‌شناسی و جریان‌سنجی آمیزه‌های بسپاری تحقیق و مطالعه به عمل آورده‌اند برای مثال ژانگ<sup>۱</sup> و همکارانش [۳۰] نشان دادند که افزودن نانوسیلیکا به آمیزه (پلی‌پروپیلن/پلی‌استایرن) سبب بهبود چسبندگی دو فاز می‌شود. وانگ<sup>۲</sup> و همکارانش [۳۱] نیز در مورد آمیزه (PTT/EPDM) نشان دادند که استفاده از نانوخاکرس اصلاح‌شده سبب ریزترشدن اندازه قطرات فازپراکنده و ریخت‌شناسی یکنواخت‌تر در این آمیزه می‌گردد، حاجی‌بابا و همکارانش [۱۶] نیز تأثیر مشابهی از نانولوله‌های کربنی اصلاح‌شده با گروه کربوکسیلیک اسید بر روی ریخت‌شناسی آمیزه (اکریلونیتریل بوتادین‌پلی(وینیل کلراید)) مشاهده کردند. عامل مهمی که روی ریخت‌شناسی و جریان‌سنجی نانوکامپوزیت‌های بسپاری تأثیر می‌گذارد محل قرارگیری این نانومواد در آمیزه بسپاری است. در صورتی که این مواد در فصل‌مشترک دو فاز قرار گیرند، می‌توانند نقش سازگارکننده را بازی کرده و سبب ایجاد

نازک‌دست و همکارانش [۲۴] نشان دادند که مدل پالین پیش‌بینی جریان‌سنجی خوبی برای آمیزه (EPDM/PP) مخصوصاً در فرکانس‌های بالا دارد. آنها همچنین نشان دادند که رفتار جریان‌سنجی ترمопلاستیک الاستومرهای دینامیکی پخت شده مطابقت خوبی با مدل جازبسکی<sup>۳</sup> [۲۵] دارد. این مدل در معادله (۱۷) نشان داده شده است.

$$\eta_{susp} = \frac{\tau_y}{\gamma^0} + \frac{9}{8} k \left( \frac{(\phi/\phi_m)}{1 - (\phi/\phi_m)^{1/3}} \right)^{n_{susp}} \quad (17)$$

در این معادله  $\eta$  جزء حجمی فاز پراکنده و  $\phi_m$  ماکریتم جزء پرشوندگی<sup>۱</sup> است که تقریباً برابر با  $0.064$  تخمین زده می‌شود [۲۶]. همچنین  $n$  تنش تسلیم و  $k$  پارامترهای جریان‌سنجی ماتریس هستند. از آنجاییکه مدل پالین برای امولسیون‌های رقیق کاربرد دارد، درنتیجه در مورد ترمопلاستیک الاستومرهای پخت شده به روش دینامیکی چندان پیش‌بینی درستی نخواهد داشت و مدل جازبسکی پیش‌بینی دقیق‌تری در رابطه با این دسته از مواد خواهد داشت. در سال ۲۰۰۵ نازک‌دست و همکارانش یک معادله تجربی برای سوسپانسیون‌های بسپاری و ترمопلاستیک الاستومرهای پخت شده به روش دینامیکی ارائه دادند که در معادله (۱۸) مشخص است. در این معادله  $a_1$  و  $a_2$  پارامترهای ثابتی هستند که توسط اعمال و خوراندن<sup>۲</sup> معادله بدست می‌آیند.

$$G^*_{susp} = a_1 \left( \frac{\phi}{\phi_m} \right) + a_2 \left( \frac{\phi}{\phi_m} \right)^2 + G^*_{m} \frac{1+3\phi H}{1-2\phi H}, H = 1/2 \quad (18)$$

یکی دیگر از مدل‌های میکرومکانیکی موجود مدل معروف کوران است [۲۷] که بر پایه قانون مخلوط‌ها بنا شده است. این مدل، مدول دینامیکی امولسیون‌ها را ترکیبی از مدل‌های موازی و سری می‌داند. از این روش به منظور توصیف ارتباط بین رفتار ویسکوالاستیک خطی و ریخت‌شناسی استفاده می‌شود [۲۸]. معادله (۱۹) این مدل را بهتر نشان می‌دهد.

1. Jarzebski
2. Packing
3. Fitting

4. Zhang  
5. Wang

کرد از جمله این که افزودن نانوفیلرها سبب افزایش گرانروی آلیاژ بسپاری شده و به افزایش عدد کاپیلاری و ایجاد ریختشناسی یکنواخت‌تر کمک شایانی می‌کند. همچنین وجود این نانو ذرات باعث می‌شوند که ناحیه برخورد مدول ذخیره و مدول اتلاف به فرکانس‌های پایین‌تری شیفت پیدا کند که نشان از افزایش زمان آسودگی آمیزه بسپاری می‌باشد [۳۳]. در آخر نیز باید گفت که اضافه کردن نانو ذرات به آمیزه‌های بسپاری باعث کاهش شدت پیک اتلاف در آنالیز (دینامیکی - مکانیکی) می‌شود که ناشی از ایجاد برهمنکش‌های قوی بین این نانومواد و ماتریس بسپار یا بین دو فاز بسپار در حضور این نانوفیلرها می‌باشد.

## ۵- نتیجه‌گیری

به‌دلیل اهمیت ارتباط بین جریان‌سنجدی و ریختشناسی در تعیین خواص نهایی آمیزه‌های بسپاری، در این تحقیق به بررسی عوامل تأثیرگذار بر روی ساختار نهایی آمیزه‌های امتزاج‌ناپذیر بسپاری و معرفی مدل‌های معروف (جریان‌سنجدی - ریختشناسی) پرداخته شد. تحقیقات انجام گرفته در زمینه ریختشناسی آمیزه‌های امتزاج‌ناپذیر بسپاری نشان دادند که افزایش گرانروی فاز ماتریس، افزایش شدت برش و کاهش تنش بین سطحی دو بسپار سبب ریزشدن قطرات فاز پراکنده و ایجاد ریختشناسی بهینه می‌گردد. مطالعات محققین نشان داد که استفاده از سازگارکننده‌ها و نانومواد اصلاح شده در آلیاژ‌های امتزاج ناپذیر بسپاری سبب کاهش تنش بین سطحی و تشکیل ریختشناسی یکنواخت‌تر می‌گردد. همچنین نانو ذرات مانند نانوسیلیکاتها و نانولوله‌های کربنی از طریق ارتقای گرانروی سیستم و افزایش ماهیت ویسکوالاستیک آمیزه‌های بسپاری سبب ایجاد قطرات ریزتر فاز پراکنده می‌شوند. از مباحث مهم دیگر در تعیین ریختشناسی زوج‌های بسپاری نسبت گرانروی فازها و نوع میدان جریان است. در این قسمت محققین نشان دادند که بهترین حالت برای شکست ذرات فاز پراکنده در میدان‌های برشی در نسبت گرانروی فازها نزدیک به ۱ حاصل می‌شود. همچنین مشخص شد که شکست قطرات در میدان‌های کششی راحت‌تر از میدان‌های برشی اتفاق می‌افتد و در میدان‌های کششی چندان به نسبت گرانروی فازها مرتبط نمی‌باشد. پژوهشگران برای ارتباط بین جریان‌سنجدی و ریختشناسی در آمیزه‌های امتزاج‌ناپذیر بسپاری از

ریختشناسی بهینه و خواص مطلوب گردند. در معادله (۲۰) پارامتری تعریف می‌شود که محل قرارگیری نانومواد در آمیزه‌های بسپاری غیرقابل امتزاج را به‌خوبی پیش‌بینی می‌کند.

$$W = \frac{\gamma_{1,N} - \gamma_{2,N}}{\gamma_{1,2}} \quad (20)$$

در معادله بالا  $\gamma_{1,N}$  و  $\gamma_{2,N}$  به ترتیب تنش بین سطحی بسپار ۱ با نانومواد و بسپار ۲ با نانومواد است. همچنین  $\gamma_{1,2}$  تنش بین سطحی بسپار ۱ و ۲ می‌باشد. در معادله (۲۰) اگر پارامتر  $W$  بیشتر از ۱ باشد نانومواد در بسپار ۲ قرار می‌گیرند، اگر کمتر از ۱ باشد در جزء ۱ قرار می‌گیرند و اگر بین ۱ و ۱- باشد در فصل مشترک دو فاز قرار می‌گیرند. برای مثال وانگ و همکارانش [۳۱] در سیستم (پلی‌پروپیلن/پلی‌استایرن) توسط معادله (۲۰) پیش‌بینی کردند که نانوسیلیکات‌های آب‌دوست تمایل به قرارگیری در فاز پلی‌استایرن را داشته و نانوسیلیکای آب‌گریز در فصل مشترک و فاز پلی‌پروپیلن قرار می‌گیرد. آنها این پیش‌بینی را با تصاویر میکروسکوپ الکترونی عبوری مقایسه کردند و صحت رابطه فوق را به‌خوبی نشان دادند. خنکدار و همکارانش [۳۲] نشان دادند که نانوخاکرس نوع Cloisite 30B در آمیزه (پلی‌پروپیلن/پلی‌(تری‌متیلن‌ترفتالات)) با قرارگیری در فصل مشترک دو فاز، نقش سازگارکننده را ایفا می‌کند و سبب ریزشدن قطرات فاز پراکنده و ریختشناسی بهتر می‌گردد. آنها همچنین با تحقیق بر روی تأثیر نانوخاکرس روی رفتار جریان‌سنجدی آمیزه (پلی‌پروپیلن/پلی‌(تری‌متیلن‌ترفتالات)) نشان دادند که افزودن نانوخاکرس سبب بهبود مدول ذخیره و افزایش سفتی و مقاومت آلیاژ بسپاری می‌گردد. این رفتار که توسط دانشمندان دیگری در آمیزه‌های بسپاری مختلف مشاهده شده است [۳۳] ناشی از ایجاد شبکه‌های فیزیکی درون مولکولی توسط نانوخاکرس اصلاح شده می‌باشد. تشکیل این شبکه فیزیکی مستقیماً به ساختار جایگذاری شده<sup>1</sup> و ورقه‌ورقه شده<sup>2</sup> نانوسیلیکات‌های اصلاح شده بر می‌گردد. از جمله تأثیرات دیگر این نانومواد، به‌خصوص نانوسیلیکات‌های اصلاح شده بر روی ریختشناسی آمیزه‌های بسپاری می‌توان به نکات دیگری نیز اشاره

1. Intercalated  
2. Exfoliated

- blends”, *Curr. Opinion in Coll. & Interf. Sci.*, 6, 457-463, (2001).
- [10] Sundararaj, U., Macosko, C. W., “Drop breakup and coalescence in polymer blends – the effects of concentration and compatibilization”, *Macromolecules*, 28, 2647-2657, (1995).
- [11] Van Puyvelde, P., Velankar, S., Moldenaers, P., “Effect of Marangoni stresses on the deformation and coalescence in compatibilised immiscible polymer blends”, *Polym. Eng. Sci.*, 42, 1956-1964, (2002).
- [12] Jeon, H. K., Macosko, C. W., “Visualization of block copolymer distribution on a sheared drop”, *Polymer*, 44, 5381-5386, (2003).
- [13] Shokri, A., Bakhshandeh, G. R., Darestani Farahani, T., “An Investigation of Mechanical and Rheological Properties of NBR/PVC Blends: Influence of Anhydride Additives, Mixing Procedure and NBR Form”, *Iranian Polymer Journal*, 15, 227-237, (2006).
- [14] Taylor, G. I., “The viscosity of a fluid containing small of another fluid”, *Proc. R. Soc.*, 138, 41-48, (1932).
- [15] Grace, H. P., “Dispersion in high viscosity immiscible fluid system and application of static mixers as dispersion devices in such systems”, *Chem. Eng. Commun.*, 14, 225-277, (1982).
- [16] Hajjibaba, A., Naderi, G., Ghoreishy, M. H. R., Bakhshandeh, G. R., Razavi-Nouri, M., “Effect of Single Walled Carbon nanotube on Morphology and Mechanical Properties of NBR/PVC blends”, *Iranian Polymer Journal*, 21, 505-511, (2012).
- [17] Wu, S. H., “Formation of dispersed phase in incompatible polymer blends: Interfacial and rheological effects”, *Polym. Eng. Sci.*, 27, 335- 343, (1987).
- [18] Utracki, L. A., “On the viscosity-concentration dependence of immiscible polymer blends”, *Jurnal of Rheology*, 35, 1615- 1637, (1991).
- [19] Willemse, R. C., Posthuma de Boer, A., Van Dam, J., Gotsis, A. D., “Co-continuous morphologies in polymer blends: the influence of the interfacial tension”, *Polymer*, 40, 827-834, (1999).
- [20] Doi, M., Ohta, T., “Dynamics and rheology of complex interfaces. I,” *J. Chem. Phys.* 95, 1242-1248, (1991).
- [21] Vinckier, I., Moldenaers, P., Mewis, J., “Relationship between rheology and morphology of model blends in steady shear flow”, *Journal of Rheology*, 40, 613-619, (1996).
- [22] Palierne, J. F., “Linear rheology of viscoelastic emulsions with interfacial tension”, *Rheol. Acta*, 29, 204-214, (1990).
- [23] Graebling, D., R. Muller, “Rheological behavior of polydimethylsiloxane / polyoxyethylene blends in the melt. Emulsion model of two viscoelastic liquids”, *J. Rheol.*, 34, 193, (1990).
- [24] Goharpey, F., Nazockdast, H., Katbab, A. A., “Relationship between the rheology and morphology of dynamically vulcanized thermoplastic elastomer based on EPDM/PP”, *Polymer Engineering and Science*, 45, 84-94, (2005).
- [25] Jarzebski, G. J., “On the effective viscosity of pseudoplastic suspensions”, *Rheol. Acta.*, 20, 280-287, (1981).
- [26] Nielsen, L. E., Landel, R. E., “Mechanical properties of polymers and composites”, 2nd ed, Marcel Dekker, New York, (1994).

مدل‌های مختلفی چون (دوبی- اوهتا)، پالیرن، جازبسکی و کوران کمک گرفته‌اند. در مدل (دوبی- اوهتا) نشان داده شد که افزایش اختلاف تنش‌های نرمال نوع اول در یک آمیزه بسپاری سبب کاهش اندازه ذرات فاز پراکنده می‌شود. همچنین به دلیل برتری پدیده انعقاد در ترکیب درصدهای بالا از فاز پراکنده، اندازه ذرات این فاز افزایش می‌یابد. در مدل پالیرن ارتباط بین مدول کمپلکس نمونه با پارامترهای ریخت‌شناسی مثل شعاع قطرات فاز پراکنده و تنش بین سطحی دو بسپار، توسط پارامتر  $H$  بیان می‌شود. این مدل معمولاً در ترکیب درصدهای پایین از فاز پراکنده (امولسیون‌های رقیق) جواب قابل قبولی می‌دهد. از مدل‌های معروف دیگر که ارتباط بین گرانزوی آمیزه بسپاری و ترکیب درصد فاز پراکنده را بیان می‌کند می‌توان به مدل جازبسکی اشاره کرد. این مدل در مورد ترمومپلاستیک الاستومرهای پخت‌شده به روش دینامیکی پیش‌بینی خوبی از خود نشان می‌دهد. مدل کوران نیز به دلیل ماهیت میکرومکانیکی، پاسخ مناسبی در دامنه وسیع‌تری از ترکیب درصد فاز پراکنده برای آمیزه‌های بسپاری مختلف دارد.

## مراجع

- [1] George, J., Ramamurthy, K., Varughese, K. T., Thomas, S., “Melt Rheology and Morphology of Thermoplastic Elastomers from Polyethylene/Nitrile-Rubber Blends: The Effect of Blend Ratio, Reactive Compatibilization, and Dynamic Vulcanization”, *Journal of Polymer Science: Part B: Polymer Physics*, 38, 1104-1122, (2000).
- [2] Brydson, J. A., “Flow Properties of Polymer Melts”, 2nd edition, George, Godwin: London, (1981).
- [3] White, J. L., “Elastomer Rheology and Processing”, *Rubber. Chem. Technol.*, 42, 257-338, (1969).
- [4] White, J. L., “Process ability of Rubber and Rheological Behavior”, *Rubber. Chem. Technol.*, 50, 163-185, (1977).
- [5] Utracki, L. A., “Polymer blends handbook”, Kluwer Academic Pub, 1442 pages, (2002).
- [6] Iza, M., Bousmina, M., “Nonlinear rheology of immiscible polymer blends: step strain experiments”, *J. Rheol.*, 44, 1363-1384, (2000).
- [7] Van Puyvelde, P. V., Moldenaers, P., “Rheology and Morphology Development in Immiscible Polymer Blends”, *Rheology Reviews*, 101- 145, (2005).
- [8] Gibbs, J. W., “A Method of Geometrical Representation of the Thermodynamic Properties of Substances by Means of Surfaces,” *Transactions of the Connecticut Academy of Arts and Sciences* 2, 382-404,(1873).
- [9] Van Puyvelde, P., Velankar, S., Moldenaers, P., “Rheology and morphology of compatibilized polymer

- [27] Coran A. Y., Patel R. J., "Predicting Elastic Moduli of Heterogeneous Polymer Compositions", *J. Appl. Polym. Sci.*, 20, 3005- 3016, (1976).
- [28] Jafari, S. H., Khonakdar, H. A., Ehsani, M., Asadinezhad, A., "Assessment of Melt Rheological Behavior of PTT/PE and PTT/PA 12 Blends by Emulsion and Micromechanical Models" *Iranian Journal of Polymer Science and Technology*, 22, 399-407, (2009).
- [29] Jafari, S. H., Yavari, A., Asadinezhad, A., Khonakdar, H. A., Bohme, F., "Correlation of morphology and rheological response of interfacially modified PTT/mLLDPE blends with varying extent of modification", *Polymer*, 46, 5082-5093, (2005).
- [30] Zhang, Q., Yang, H., Fu, Q., "Kinetics-controlled compatibilization of immiscible polypropylene/polystyrene blends using nano-SiO<sub>2</sub> particles", *Polymer*, 45, 1913- 1922, (2004).
- [31] Wang, K., Chen, Y., Zhang, Y., "Effects of organoclay platelets on morphology and mechanical properties in PTT/EPDM-g-MA/organoclay ternary nanocomposites", *Polymer*, 49, 3301-3309, (2008).
- [32] Khonakdar, H. A., Saen, P., Nodehi, A., Jafari, S. H., Asadinezhad, A., Wagenknecht, U., Heinrich, G., "On Rheology-Morphology Correlation of Polypropylene/Poly(trimethylene terephthalate) Blend Nanocomposites", *Journal of Applied Polymer Science*, 127, 1056-1060, (2013).
- [33] Nazockdast, E., Nazockdast, H., Goharpey, F., "Linear and nonlinear melt-state viscoelastic properties of Polypropylene/Organoclay nanocomposites", *Polymer Engineering and Science*, 48(12), 1240-1249, (2008).